

## Supplementary Information

### Understanding Zr and Si interdispersion in $\text{Zr}_{1-x}\text{Si}_x\text{O}_2$ mesoporous thin films by using FTIR and XANES spectroscopy

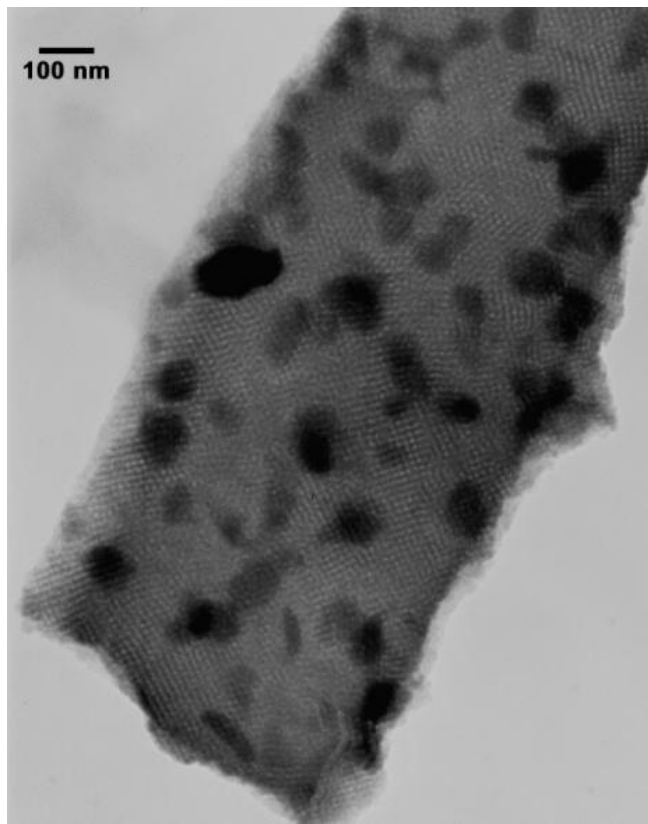
Leandro Andolini<sup>a</sup>, Paula C. Angelome<sup>b\*</sup>, Galo J.A.A. Soler-Illia<sup>c,d</sup>, Félix G. Requejo<sup>a,e</sup>

- a. Instituto de Investigaciones Fisicoquímicas Teóricas y Aplicadas, INIFTA - CONICET,  
1900, La Plata, Argentina.
- b. Gerencia Química, Centro Atómico Constituyentes, Comisión Nacional de Energía  
Atómica, Av. General Paz 1499, B1650KNA, San Martín, Buenos Aires, Argentina
- c. Departamento de Química Inorgánica, Analítica y Química Física, Facultad de Ciencias  
Exactas y Naturales, Universidad de Buenos Aires, Buenos Aires, Argentina
- d. Instituto de Nanosistemas, Universidad Nacional de General San Martín, Av. 25 de  
Mayo y Francia, 1650, San Martín, Buenos Aires, Argentina
- e. Departamento de Física, Facultad de Ciencias Exactas, Universidad Nacional de La  
Plata, La Plata, Argentina.

\* Corresponding author email: angelome@cnea.gov.ar

**Table S1. Mesostructures of mixed oxide mesoporous film samples**

Sample	$x$	Mesostructure
$\text{ZrO}_2$	0	$I\bar{m}\bar{3}m + F\bar{m}\bar{3}m$ cubic
ZS91	0.1	$I\bar{m}\bar{3}m + F\bar{m}\bar{3}m$ cubic
ZS82	0.2	$I\bar{m}\bar{3}m + F\bar{m}\bar{3}m$ cubic
ZS73	0.3	Local order
ZS37	0.7	Local order
ZS28	0.8	Local order
ZS19	0.9	Local order
$\text{SiO}_2$	1	$I\bar{m}\bar{3}m$ cubic



**Figure S1:** TEM image of sample ZS55 ( $x = 0.5$ ), showing contrast changes that are related with phase segregation in the mixed oxide structure.